

# МЕХАНИЧЕСКОЕ ОБОРУДОВАНИЕ И МАШИНОСТРОЕНИЕ

Осипова Т. Н., магистр, ассистент  
Украинская инженерно-педагогическая академия

## УЧЕТ МАССЫ КАНАТОВ ПРИ ИССЛЕДОВАНИИ ДИНАМИКИ ОДНОКОНЦЕВОГО ПОДЪЕМНИКА

tanya\_338@mail.ru

В статье рассмотрена динамика одноконцевого подъемника с учетом потенциальной энергии системы, состоящей из потенциальной энергии в поле силы тяжести элементов подъемника и упругой деформации струны и отвеса каната. На основе уравнения Лагранжа II-го рода получена система обыкновенных дифференциальных уравнений с постоянными коэффициентами для определения колебательных процессов подъемника.

**Ключевые слова:** одноконцевой подъемник, динамика, потенциальная и кинетическая энергии, обобщенные координаты, система дифференциальных уравнений

Одноконцевой подъемник относится к системе статически неуравновешенного подъема, поэтому важно знать какие колебательные процессы возникают в канатопроводе данной подъемной установки. В работе проф. Дворникова В.И. [1] отмечается, что в литературе [2 – 4] при расчете подъемников канат считается невесомым, тогда 1/3 его массы приводится к рядом лежащим дискретным массам. Но куда делась еще 1/3 массы каната? Необходимо рассмотреть динамические переходные процессы в одноконцевой подъемной установке, учитывая массу струны и отвеса каната, а также характер движения дискретных масс.

На рис. 1 приведена схема одноконцевой подъемной установки, которая состоит из электродвигателя, редуктора, соединительных муфт,

подъемного барабана, которые объединены в одну дискретную массу в виду большой жесткости валопровода; копрового шкива, подъемного сосуда и каната.

Выведем динамические уравнение движения рассматриваемого подъемника с учетом потенциальной энергии канатов, используя метод Лагранжа.

Упругое удлинение струны и отвеса каната

$$\delta l_1 = R_{ш} \varphi_{ш} - R_{б} \varphi_{б}; \quad \delta l_2 = y - R_{ш} \varphi_{ш}, \quad (1)$$

где  $R_{б}$ ,  $R_{ш}$  – радиусы соответственно барабана и копрового шкива;  $\varphi_{б}$ ,  $\varphi_{ш}$  – углы поворота соответственно барабана и копрового шкива, отсчитываемые против хода часовой стрелки.

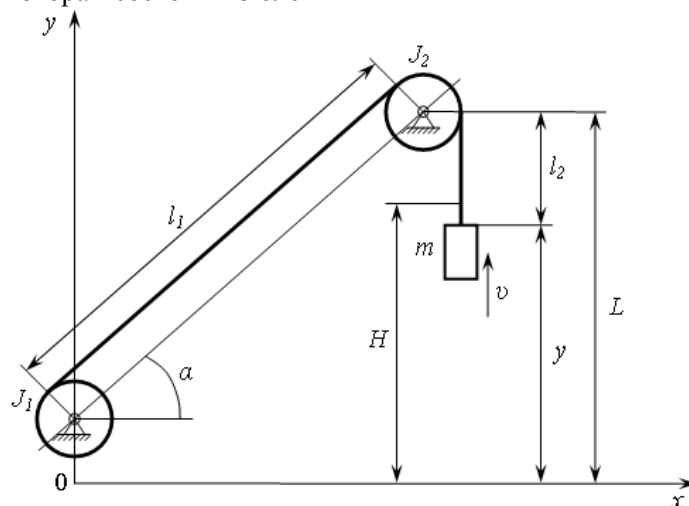


Рис. 1. Схема одноконцевой подъемной установки:

$J_1$  – приведенный суммарный момент инерции барабана машины;  $J_2$  – момент инерции направляющего (копрового) шкива;  $l_1$  – длина наклонной струны каната;  $l_2$  – переменная длина отвесной части каната;  $\alpha$  – угол наклона струны;  $m$  – масса конечного груза;  $v$  – скорость подъема груза, указывающая направление перемещений элементов системы;  $y$  – перемещение прицепного устройства по вертикали;  $L$  – начальная длина отвеса каната в момент пуска двигателя;  $H$  – высота подъема

Потенциальная энергия системы, которая возникает от сил упругой деформации канатов

$$\Pi_{упр} = \frac{C_{стр} \cdot (\delta l_1)^2}{2} + \frac{C_{отв} \cdot (\delta l_2)^2}{2}, \quad (2)$$

где  $C_{стр}$ ,  $C_{отв}$  – коэффициенты жесткости соответственно струны и отвеса каната, определяемые следующим образом:

$$C_{стр} = \frac{E \bar{a} d_\kappa^2}{l_1}; C_{отв} = \frac{E \bar{a} d_\kappa^2}{l_2}, \quad (3)$$

где  $E = 2,06 \cdot 10^{11}$  Н/м<sup>2</sup> – модуль упругости стали проволоки;  $\bar{a} = 0,315$  – безразмерный параметр, зависящий от конструкции каната;  $d_\kappa$  – диаметр каната

В формуле (3) в соответствии с рис. 1  $l_2 = L - y$ , но  $C_{отв}$  по своему физическому смыслу зависит не от координаты  $y$ , а от его «среднего значения»  $\bar{y}(t)$ , определяемого как средняя величина по времени  $t$  при перемещении груза

$$l_2 = L - \bar{y}(t). \quad (4)$$

Определим массы струны и отвеса каната по формулам

$$m_{стр} = \lambda_1; m_{отв} = \lambda_2, \quad (5)$$

$$\Pi_{тяж} = m y g - \frac{\lambda_1 g \cdot (R_u \varphi_u + R_\sigma \varphi_\sigma) \cdot \sin \alpha}{2} + \frac{\lambda_2 g \cdot (y + R_u \varphi_u)}{2}, \quad (8)$$

где  $g$  – ускорение свободного падения.

Общая потенциальная энергия системы равна

$$\Pi = \Pi_{упр} + \Pi_{тяж}. \quad (9)$$

$$\Pi = \frac{C_{стр} \cdot (R_u \varphi_u - R_\sigma \varphi_\sigma)^2}{2} + \frac{C_{отв} \cdot (y - R_u \varphi_u)^2}{2} + \left(m + \frac{\lambda_1}{2}\right) g \cdot y + \frac{y \cdot g \cdot R_u \varphi_u \cdot (l_2 - l_1 \cdot \sin \alpha)}{2} - \frac{y \cdot g \cdot l_1 \cdot R_\sigma \varphi_\sigma \cdot \sin \alpha}{2}. \quad (10)$$

Определяем кинетическую энергию рассматриваемой системы, которая представляет собой сумму кинетических энергий двух вращающихся масс (барабана и копрового шкива) и линейно перемещающихся масс концевой груза и каната.

Момент инерции барабана является переменной величиной от параметра  $\varphi_\sigma$ , так как к его вращающейся массе присоединяем массу части каната, навиваемую на барабан. Получаем

$$J_1' = J_1 + \lambda R_\sigma^3 \varphi_\sigma \quad \text{или} \quad J_1' = J_1 + \lambda R_\sigma^3 \bar{\varphi}_\sigma(t), \quad (11)$$

где  $\bar{\varphi}_\sigma(t)$  – среднее значение, определяемое как средняя интегральная величина по времени  $t$  при вращении барабана.

Следовательно, переменная  $J_1'$  рассматривается как параметрическая функция времени  $t$ .

$$T = \frac{J_1' \dot{\varphi}_\sigma^2}{2} + \frac{J_2 \dot{\varphi}_u^2}{2} + \frac{m \dot{y}^2}{2} + \frac{\lambda_1 \cdot (R_\sigma \dot{\varphi}_\sigma + R_u \dot{\varphi}_u)^2}{8} + \frac{\lambda_2 \cdot (R_u \dot{\varphi}_u + \dot{y})^2}{8}. \quad (13)$$

где  $\gamma$  – масса единицы длины каната, определяемая как

$$\gamma = \bar{\gamma} \cdot \gamma_{ст} \cdot d_\kappa^2, \quad (6)$$

где  $\bar{\gamma} = 0,491$  – безразмерный параметр, зависящий от конструкции каната;  $\gamma_{ст} = 7800$  кг/м<sup>3</sup> – плотность стали, из которой изготовлена проволока.

Из всех сосредоточенных масс только концевая масса изменяет свою потенциальную энергию в поле силы тяжести. Изменяется также потенциальная энергия отрезков струны и отвеса каната. Координаты центров инерции струны и отвеса каната определяются как средние арифметические величины этих канатов и располагаются в окрестности их середин:

$$s_{стр} = \frac{R_u \varphi_u + R_\sigma \varphi_\sigma}{2}; s_{отв} = \frac{y - R_u \varphi_u}{2}. \quad (7)$$

Для инженерных целей точно в качестве первого приближения можно ограничиться формулами (7).

Потенциальная энергия в поле силы тяжести равна

Подставив в уравнение (9) соотношения (2) и (8) с определениями (3) и (4), получим окончательное выражение:

Определим кинетическую энергию элементов подъемника.

Струну и отвес каната считаем упругими стержнями, концы которых перемещаются, и представим их сосредоточенными массами в их центрах тяжести. Предположим, что скорости граничных точек струны и отвеса каната являются соответственно  $R_\sigma \dot{\varphi}_\sigma$ ,  $R_u \dot{\varphi}_u$  и  $R_u \dot{\varphi}_u$ ,  $\dot{y}$ .

Скорости центров инерции отрезков равны  $v_{стр} = \frac{R_\sigma \dot{\varphi}_\sigma + R_u \dot{\varphi}_u}{2}$  и  $v_{отв} = \frac{R_u \dot{\varphi}_u + \dot{y}}{2}$ . (12)

Соотношения (12) отражают гипотезу и среднеарифметической величине продольной скорости центров тяжести.

Кинетическая энергия всей системы равна

Для определения уравнений движения элементов рассматриваемой системы, воспользуемся уравнением Лагранжа II-го рода:

$$\frac{d}{dt} \left( \frac{\partial \Gamma}{\partial \dot{q}_i} \right) + \frac{\partial \Pi}{\partial q_i} = Q_i(t), \quad (14)$$

где  $q_1 = \varphi_{\delta}$ ,  $q_2 = \varphi_{uu}$ ,  $q_3 = y$  – обобщенные координаты элементов подъемника;  $\dot{q}_1 = \dot{\varphi}_{\delta}$ ,  $\dot{q}_2 = \dot{\varphi}_{uu}$ ,  $\dot{q}_3 = \dot{y}$  – обобщенные скорости элементов рассматриваемой системы;  $Q_1$ ,  $Q_2$ ,  $Q_3$  – обобщенные непотенциальные силы.

Для рассматриваемой системы примем:  $Q_1 = M_{\delta\delta}(t)$ ,  $Q_2 = 0$ ,  $Q_3 = 0$ , где  $M_{\delta\delta}(t)$  – развиваемый момент двигателя, приведенный к оси органа навивки. Обобщенные силы  $Q_2$ ,  $Q_3$  приняты равными нулю, так как предполагается, что копроной шкив и концевой груз не подвержены воздействию внешних сил (силы сопротивления воздушной среды, трения в подшипниковых узлах и в направляющих устройствах и др.), кроме уже учтенных.

Проведя необходимые вычисления и преобразования, получим систему уравнений движения подъемника:

$$\left. \begin{aligned} & \left( J'_1 + \frac{\gamma_1 R_{\delta}^2}{4} \right) \ddot{\varphi}_{\delta} + \frac{\gamma_1 R_{\delta} R_{uu}}{4} \ddot{\varphi}_{uu} - C_{cmp} R_{\delta} (R_{uu} \varphi_{uu} - R_{\delta} \varphi_{\delta}) = M_{\delta\delta} + \frac{\gamma_1 g R_{\delta} \sin \alpha}{2}; \\ & \left( J_2 + \left( \frac{\gamma_1}{4} + \frac{\gamma_2}{4} \right) R_{uu}^2 \right) \ddot{\varphi}_{uu} + \frac{\gamma_1 R_{\delta} R_{uu}}{4} \ddot{\varphi}_{\delta} + \frac{\gamma_2 R_{uu}}{4} \ddot{y} + \\ & + C_{cmp} R_{uu} (R_{uu} \varphi_{uu} - R_{\delta} \varphi_{\delta}) - C_{омв} R_{uu} (y - R_{uu} \varphi_{uu}) = - \frac{\gamma g R_{uu} (l_2 - l_1 \sin \alpha)}{2}; \\ & \left( m + \frac{\gamma_2}{4} \right) \ddot{y} + \frac{\gamma_2 R_{uu}}{4} \ddot{\varphi}_{uu} + C_{омв} (y - R_{uu} \varphi_{uu}) = - \left( m + \frac{\gamma_2}{2} \right) g. \end{aligned} \right\} \quad (15)$$

Таким образом, получена система обыкновенных дифференциальных уравнений с постоянными коэффициентами для определения колебательного движения элементов подъемника с учетом потенциальной энергии канатов.

## БИБЛИОГРАФИЧЕСКИЙ СПИСОК

1. Шахтный подъем: Научно-производственное издание / Бежок В.Р., Двор-

ников В.И., Манец И.Г., Пристром В.А.; общ.ред. Б.А. Грядущий, В.А. Корсун. – Донецк: ООО «Юго-Восток Лтд», 2007. 624 с.

2. Стретт Дж.В. /Лорд Рэлей/ Теория звука. М.: Гостехиздат, 1955. 318 с.

3. Тимошенко С.П. Колебания в инженерном деле. – М.: Машиностроение, 1959. 439 с.

4. Степанов А.Г. Динамика шахтных подъемных установок. – Пермь: УрО РАН, 1994. 263 с.